

Г.И. Марковский, М.Б. Козликин, А.А. Анойкин

*Институт археологии и этнографии СО РАН, Новосибирск, Россия*

## НОВЫЕ ДАННЫЕ О КОМПЛЕКСАХ НАЧАЛЬНОГО ВЕРХНЕГО ПАЛЕОЛИТА СТОЯНКИ УШБУЛАК (по материалам южного участка памятника)

В статье представлены результаты исследований южного участка многослойного палеолитического памятника Ушбулак на материалах шурфа 5. Стоянка расположена в Шиликтинской долине (Северо-Восточный Казахстан), открыта в 2016 г. В 2016–2018 гг. на территории стоянки были заложены два раскопа и серия шурфов. Шурф 5 расположен в 15 м от раскопа 2, в схожих геоморфологических условиях. Археологические работы в шурфе проводились в 2017–2018 гг. В результате полевых исследований был получен стратиграфический разрез, включающий пять литологических слоев (общая мощность – 2,2 м), а также представительная коллекция археологических материалов (2802 экз.). При сопоставлении стратиграфических последовательностей, выделенных на памятнике в целом, для литологических подразделений шурфа 5 были выявлены аналоги среди слоев раскопа 2. Каменные артефакты из шурфа 5 по своим технико-типологическим показателям аналогичны материалам начальной стадии верхнего палеолита из слоев 5.2-7 раскопа 2. Первичное расщепление здесь также ориентировано на получение пластин в рамках параллельного объемного, часто встречного скальвания. В орудийном наборе присутствуют концевые скребки, ретушированные пластины, резцы, остроконечники с ретушью, ножи, тронкированные пластины. Наиболее яркими формами, позволяющими относить данную индустрию к начальным этапам верхнего палеолита, являются удлиненные острия с подработкой основания, нуклеус-резец, пластина с перехватом. Наличие прямых корреляций, как по стратиграфической ситуации, так и по характеристикам технокомплексов между раскопом 2 и шурфом 5, при значительной концентрации археологического материала в последнем, свидетельствуют о высокой перспективности южного участка стоянки для дальнейшего изучения.

*Ключевые слова:* Казахстан, начальный верхний палеолит, Ушбулак, шурфы, пластинчатое расщепление, орудия-маркеры.

**DOI:** 10.14258/tpai(2019)4(28).-10

### *Введение*

Проблемы первоначального формирования и распространения верхнепалеолитических традиций на территории Евразии уже длительное время являются актуальными для исследователей каменного века. За переходными комплексами, часто сочетающими в себе черты среднего и верхнего палеолита, в современном палеолитоведении закрепился термин «начальный верхний палеолит» (НВП) [Kuhn, Zwyns, 2014]. На данный момент стратифицированные стоянки, где присутствуют подобные индустрии, обнаружены в разных частях Евразии – от Западной Европы и побережья Средиземного моря до Северного Китая [Derevianko et al., 2012]. Несмотря на положительную тенденцию по выявлению НВП-комплексов в границах разных историко-культурных областей, все еще остаются значительные территории, где по тем или иным причинам палеолитические индустрии этого периода еще не обнаружены. Таким «белым пятном» до недавнего времени являлся Восточный Казахстан.

Специфические природные условия региона (аридный и резко континентальный климат), сохранявшиеся на протяжении многих тысяч лет, препятствовали формированию рыхлых покровных отложений, вмещающих археологический материал [Таймагамбетов, Ожерельев, 2009]. Этим объясняется то, что продолжительное время почти все известные стоянки каменного века на этой территории были представлены местонахождениями с поверхностным залеганием находок, а единичные стратифицированные памятники, такие как Шульбинка и Быструха-2, содержали смешанный или

очень немногочисленный археологический материал [Петрин, Таймагамбетов, 2000; Деревянко и др., 2003]. Ситуация в регионе начала меняться в 2016 г., когда в результате разведочных работ совместной Российско-Казахстанской экспедиции ИАЭТ СО РАН и Национального музея РК в Шиликтинской долине (Зайсанский район Восточно-Казахстанской области РК) была открыта многослойная палеолитическая стоянка Ушбулак [Шуньков и др., 2016]. Шиликтинская долина расположена на крайнем востоке Казахстана, на границе с Китаем (рис. 1), в незначительном удалении от таких крупных географических областей, как Российский Алтай и Северо-Западная Монголия. Это позволяет рассматривать территорию долины и весь Восточный Казахстан как возможный транзитный коридор, соединяющий несколько крупных историко-географических регионов, где известны памятники начальной поры верхнего палеолита.



Рис. 1. Местоположение стоянки Ушбулак

Стоянку Ушбулак характеризует наличие мощной пачки рыхлых отложений (более 6 м), где в четкой стратиграфической последовательности залегает многочисленный и выразительный археологический материал, относящийся к разным периодам верхнего палеолита. Работы в центральной и южной частях стоянки ведутся с 2016 г. по настоящее время (рис. 2.-А-В). Индустрии начального верхнего палеолита изучались в основном по находкам, полученным из раскопа 2, где в слоях 5.2–7 залегал массовый и выразительный археологический материал этого периода (~15000 экз.) [Анойкин и др., 2017; Анойкин и др., 2018]. Кроме раскопов 1 и 2 на памятнике была заложена разведочная траншея и серия шурфов с целью уточнения границ стоянки, общей стратиграфической ситуации и особенностей залегания артефактов в пределах ее отдельных участков [Деревянко и др., 2017] (рис. 2.-В). В некоторых шурфах был получен археологический материал, существенно дополняющий представления об особенностях каменных индустрий на разных этапах функционирования стоянки.

В данной статье дается описание стратиграфической ситуации на южном участке стоянки Ушбулак, исследованном шурфом 5, а также результаты анализа полученной коллекции каменных артефактов с целью сопоставления с опорным разрезом и археологическими материалами основного раскопа.

#### ***Краткая история исследования стоянки Ушбулак***

Стоянка Ушбулак локализована в верхнем течении ручья Восточный, в русле которого в 2016 г. была собрана представительная коллекция каменных артефактов (~1500 экз.). В 2016–2018 гг. на памятнике были заложены разведочная траншея, четыре шурфа и два раскопа общей площадью ~25 кв. м (рис. 2.-В).

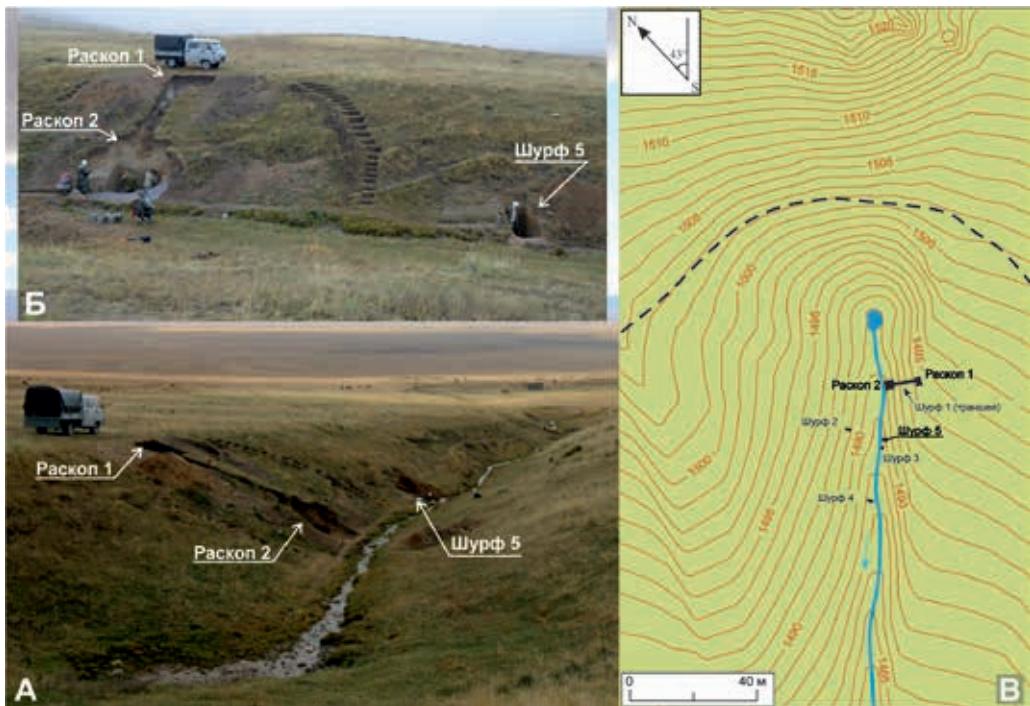


Рис. 2. Стоянка Ушбулак: А – вид на стоянку с северо-востока; Б – вид на раскопы 1, 2 и шурф 5 с запада; В – план-схема стоянки Ушбулак

Раскоп 1 (площадь 6 кв. м, глубина 4 м) вскрыл верхнюю пачку отложений стоянки (слои 1–5.1), содержащую разновременный археологический материал (459 экз.), начиная с поздних этапов верхнего палеолита и заканчивая эпохой палеометалла [Павленок и др., 2017; Павленок и др., 2018]. Раскопом 2 (площадь 12 кв. м, глубина 3 м) исследована нижняя пачка отложений стоянки (культуросодержащие слои 5.2–7), из которой получена представительная (~15000 экз.) коллекция каменных артефактов периода начального верхнего палеолита [Анойкин и др., 2017; Анойкин и др., 2018] (рис. 2.-Б, В).

Шурфы закладывались с целью уточнения границ стоянки, стратиграфической ситуации по обоим бортам ручья и особенностей залегания находок в пределах отдельных участков памятника. Шурфы 2 и 4 по правому борту содержали единичные артефакты, а анализ стратиграфии показал принципиальное отличие структуры и состава рыхлых отложений правого борта ручья от левого [Деревянко и др., 2017]. Стратиграфия шурфа 5 (левый борт), напротив, продемонстрировала сходство с литологической последовательностью отложений, вскрытой раскопом 2.

Шурф 5 расположен у подножия склона левого борта эрозионного вреза ручья Восточный, в 38 м от истока и примерно в 15 м к югу от раскопа 2 (рис. 2.-А). Площадь шурфа – 2 кв. м, максимальная мощность вскрытых отложений – 2,2 м, дно находится на 0,8 м ниже современного уреза воды в ручье. В 2017–2018 гг. шурфом 5, как и раскопом 2, изучалась нижняя пачка отложений стоянки (рис. 2.-Б). Полученная в ходе раскопок шурфа коллекция каменных артефактов составила 2802 экз.

#### **Стратиграфия нижней пачки отложений стоянки Ушбулак**

Наиболее полно стратиграфия нижней пачки отложений стоянки представлена в раскопе 2. Согласно описанию стратиграфии раскопа, выполненному кандидатом

географических наук В.А. Ульяновым, в разрезе сверху вниз, вскрыты следующие отложения [Анойкин и др., 2017] (рис. 3.-А).

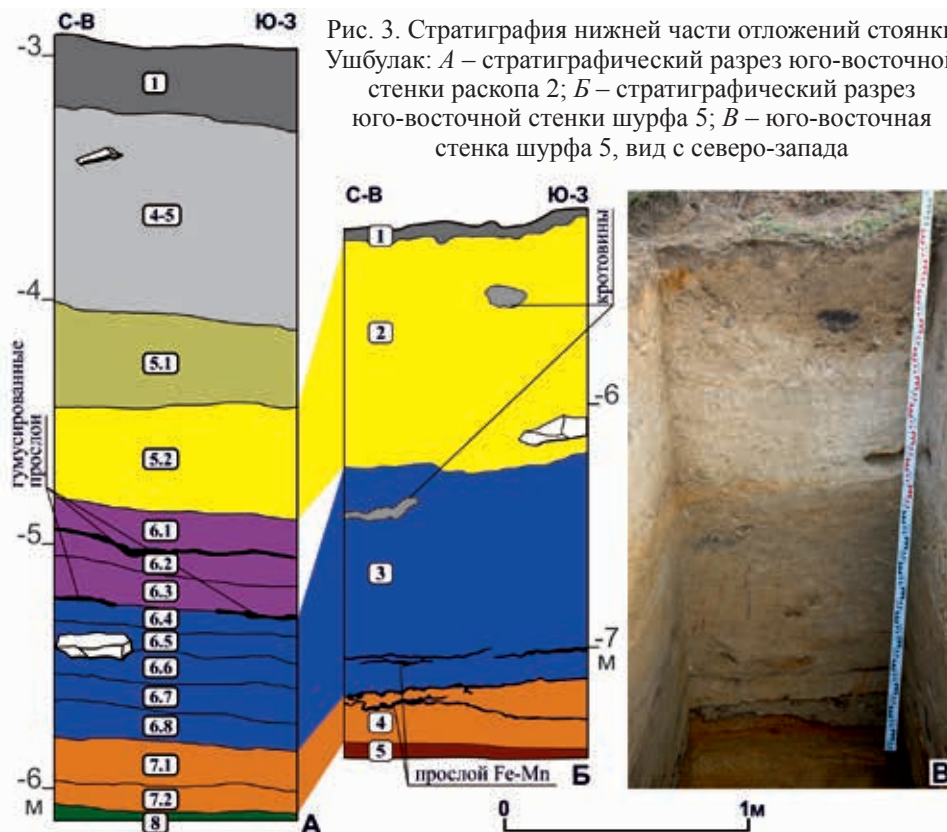
Слой 1. Современный почвенно-растительный горизонт. Склоновые отложения. Мощность – 0,14–0,28 м.

Слой 4. Мелкозернистые пески и охристая или палево-серая супесь. Подразделяется на два горизонта генетически единого пролювиального комплекса, сформированного временным водотоком в зоне активной аккумуляции. Мощность – 0,2–0,5 м.

Слой 5. Тяжелые супеси, светло-серые, обильно насыщенные дресвой. Генезис – пролювиально-склоновый. По потемнению слоя в подошвенной части и заметному увеличению количества пятен ожелезнения делится на два горизонта. Мощность – 0,4–0,6 м.

Слой 6. Согласно изменению литологических характеристик и насыщенности артефактами разделен на восемь стратиграфических горизонтов, объединенных в две толщи. Верхняя толща (горизонты 6.1–6.5) преимущественно пролювиально-склонового происхождения. Представлена тяжелыми серыми одресвяненными супесями, в нижней части характерно появление маломощных непротяженных линзовидных включений легких гумусированных черно-коричневых суглинков. Мощность верхней толщи – 0,4–0,5 м. Нижняя толща (горизонты 6.6–6.8) представлена серыми пластичными суглинками. В подошве слоя появляются линзы и прослои крупнозернистых песков красновато-охристого цвета. Мощность нижней толщи – 0,3–0,4 м.

Слой 7. Щебнисто-дресвянистая толща с песчано-суглинистым заполнителем порового типа, охристо-коричневого цвета. В приподошвенной части слоя отмечено развитие вторичного омарганцевания (Fe–Mn) в виде четко ограниченного неровного



темноцветного прослоя, прослеживаемого по всему раскопу. Генезис пролювиальный. По увеличению содержания глинистой составляющей и щебня к подошве делится на два горизонта. Мощность – 0,3–0,5 м.

Слой 8. Пестроцветная дресвяно-щебнистая толща с включением единичных глыб и песчано-суглинистым заполнителем. Генезис пролювиальный. Вскрытая мощность – 0,8 м.

Археологический материал, связанный с периодом начального верхнего палеолита, обнаружен в средней части вскрытых отложений, начиная со слоя 5.2 и заканчивая слоем 7 [Анойкин и др., 2017].

Максимальная мощность вскрытых отложений в шурфе 5 у юго-восточной стенки, ставшей основной для стратиграфического описания, составила 2,2 м (рис. 3.-Б-В). Описание полученного разреза также составлено В.А. Ульяновым, которым выделены следующие основные стратиграфические подразделения (сверху вниз) [Деревянко и др., 2017].

Слой 1. Горизонт современного дерна. Склоновые отложения. Мощность – 0,03–0,11 м.

Слой 2. Суглинок легкий, светло-серый с охристыми пятнами вторичного ожелезнения. Во включениях отмечено значительное количество дресвы и песка из разрушившихся гранитов. В кровле и подошве слоя имеются зоны охристого прокрашивания. Верхняя и средняя части слоя вовлечены в склоновое смещение и могут включать в себя вышележащие отложения, близкие по составу слою 5.2 в раскопе 2. Нижняя часть слоя представлена суглинком легким, алевритистым, серого цвета с коричневым оттенком. Структура массивная, пелитоморфная, текстура – слоистая. Отмечены разрозненные линзы серой одресвяненной супеси и гнездовидные скопления дресвы. Мощность – 0,8–0,9 м.

Слой 3. Верхняя часть слоя представлена преимущественно супесью средней, обильно одресвяненной, с плохо выраженной линзовидно-слоистой текстурой, обусловленной чередованием прослоев с различным содержанием дресвяно-песчаного материала. Нижняя часть слоя имеет более тонкий механический состав и представлена средним, алевритистым суглинком с четко ограниченными прослоями темного гумусированного суглинка, характерными для слоя 6 в раскопе 2. В подошве слоя отмечен горизонт предельно сапролитизированных гранитоидов. Отложения этого слоя являются, скорее всего, аналогом слоев 6.4–6.8 в раскопе 2. Мощность – 0,7–0,8 м.

Слой 4. Дресвяно-песчаная пачка с обильным включением щебнистого материала и прослоями желто-коричневого тяжелого алевритистого суглинка. В нижней части слоя вскрыты крупнозернистые пески серого цвета, хорошо отмытые, несцементированные, с четко выраженным горизонтом Fe–Mn цементации, который подстилается крупнозернистыми песками красно-охристого цвета, умеренно обогащенными мелким щебнем. Эти отложения являются, вероятно, аналогом слоя 7 в раскопе 2. Мощность – 0,3 м.

Слой 5. Суглинок тяжелый, плотный, алевритистый. Вскрытая мощность – 0,1 м.

Археологические находки эпохи палеолита зафиксированы в средней и нижней частях слоя 2, по всей толще слоя 3, а также в слое 4, исключая его подошву.

Сопоставление разрезов раскопа 2 и шурфа 5, вскрывших нижнюю пачку рыхлых отложений стоянки Ушбулак, производилось на основе анализа последовательности литологических подразделений, сравнения механического состава слоев, их цвета, структуры, характера и размерности включений, присутствия новообразований, а также распределения археологического материала. В результате для литологических подразделений шурфа 5 были выявлены следующие аналоги среди слоев раскопа 2: слой 2 наиболее близок слою 5.2 раскопа; слой 3 является аналогом слоев 6.4–6.8; отложения слоя 4 по своим характеристикам аналогичны слою 7 в раскопе 2 (рис. 3.-А, Б). Для слоя 5, расположенного в нижней части стратиграфической последовательности шурфа 5, аналогов в раскопе 2 не выявлено.

Следует отметить, что сохранность артефактов из слоя 4, представленных в основном мелкими сколами и их фрагментами, отличается от остальных находок из шурфа 5. На краях предметов часто присутствует разноразмерная эпизодическая зубчатая ретушь, вероятно, естественного происхождения. У значительной части находок на поверхности имеется заглаженность и замытость граней разной степени. Предположительно это результат постседиментационного физического и, возможно, химического воздействия, повлиявшего на сохранность артефактов. Еще одним следствием воздействия могло стать смещение находок с мест их первоначального залегания. Археологический материал из слоя 3, напротив, практически не имеет естественной ретуши, даже незначительная заглаженность встречается редко. Фрагменты пластин из средней части слоя 3 апплицируются в целые сколы (11 экз.), отмечен также случай ремонтажа истощенного нуклеуса (рис. 4.-6). Серия восстановленных предметов в совокупности с хорошей сохранностью большинства находок может свидетельствовать о залегании

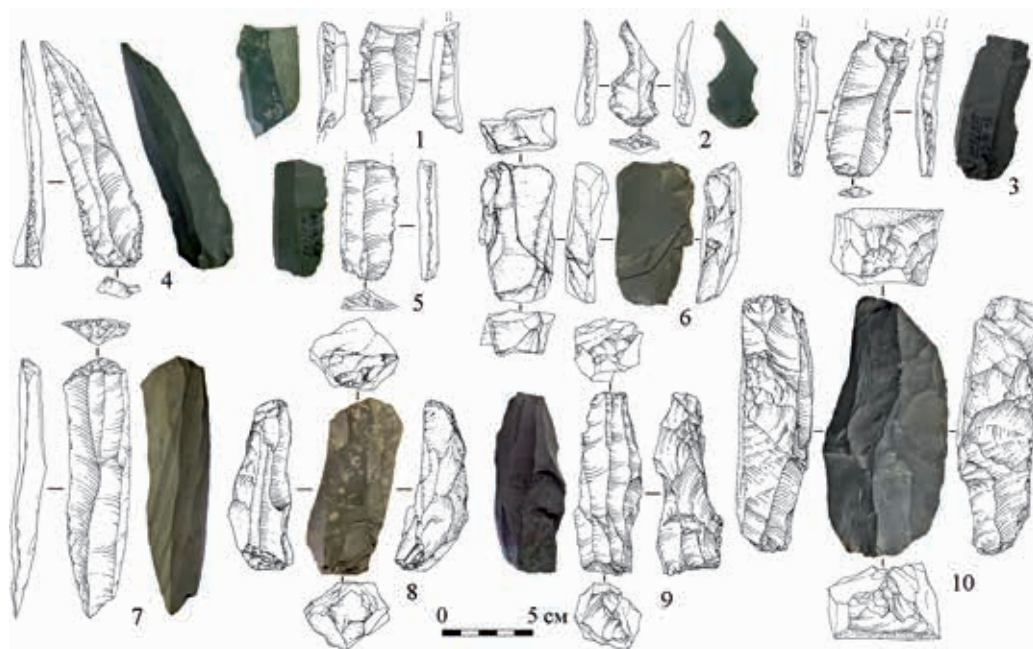


Рис. 4. Каменные артефакты из шурфа 5 (рисунки А.В. Абдульмановой, фото Е.Н. Бочаровой): 1, 3 – резцы двойные; 2 – пластина с перехватом; 4 – острие с подработкой основания; 5 – тронкированная пластина с ретушью; 6 – нуклеус (ремонтаж); 7 – скребок концевой; 8–10 – нуклеусы. 1, 2 – слой 2; 3–10 – слой 3 археологического материала в слое 3 близко к положению *in situ*, что допускает наличие лишь незначительных нарушений в отложениях после их формирования.

Подобные отличия в сохранности каменных артефактов отмечены и в раскопе 2, между находками из слоев 7 и 6 соответственно. Вероятно, некоторые слои из нижней пачки отложений стоянки, содержащие артефакты с меньшей степенью сохранности, формировались в схожих условиях и предположительно в одно время, что может являться дополнительным подтверждением проведенных корреляций литологических тел шурфа 5 и раскопа 2.

#### Каменная индустрия из шурфа 5

В ходе работ археологический материал был зафиксирован в слоях 2–4, а общее количество находок составило 2802 экз. (табл. 1).

Таблица 1

Состав каменной индустрии из шурфа 5 стоянки Ушбулак

Категория/Изделия	Слой 2		Слой 3		Слой 4		Всего
	кол-во	процент	кол-во	процент	кол-во	процент	
<b>Нуклевидные*</b>	2	0,6	7	0,3	–	–	<b>9</b>
Нуклеусы	2	0,6	7	0,3	–	–	
<b>Технические сколы</b>	18	5,3	229	11,2	18	11,3	265
Первичные отщепы	3	0,9	12	0,6	2	1,3	17
Вторичные отщепы	1	0,3	23	1,1	–	–	24
Первичные пластины	3	0,9	0	0,0	–	–	3
Вторичные пластины	1	0,3	13	0,6	–	–	14
Фронтальные	–	0,0	19	0,9	–	–	19
Реберчатые	–	0,0	16	0,8	6	3,8	22
Полуреберчатые	4	1,2	38	1,9	–	–	42
Продольно-краевые пластины	2	0,6	19	0,9	4	2,5	25
Продольно-краевые отщепы	1	0,3	27	1,3	4	2,5	32
Поперечно-краевые пластины	–	–	5	0,2	–	–	5
Поперечно-краевые отщепы	–	–	15	0,7	–	–	15
Подправка ударной площадки	3	0,9	42	2,1	–	–	45
Пластины	97	28,7	700	34,4	36	22,6	833
шир. 40–59 мм	3	0,9	58	2,8	–	–	61
шир. 20–39 мм	43	12,7	415	20,4	20	12,6	478
шир. 13–19 мм	51	15,1	227	11,1	16	10,1	294
Пластинки	16	4,7	101	5,0	11	6,9	128
Пластинчатые отщепы	9	2,7	32	1,6	4	2,5	45
Крупные (дл. ≥50 мм)	–	–	10	0,5	–	–	10
Средние (дл. 30–46 мм)	4	1,2	21	1,0	4	2,5	29
Мелкие (дл. ≤29 мм)	5	1,5	1	0,1	–	–	6
Отщепы	196	58,0	967	47,5	91	57,2	1254
Крупные (дл. ≥50 мм)	4	1,2	74	3,6	–	–	78
Средние (дл. 30–46 мм)	60	17,8	241	11,8	22	13,8	323
Мелкие (дл. ≤29 мм)	132	39,1	652	32,0	69	43,4	853
Чешуйки (дл. ≤10 мм)	62	–	59	–	1	–	122
Обломки, осколки	39	–	102	–	5	–	146
<b>Всего:</b>	<b>439</b>	<b>100</b>	<b>2197</b>	<b>100</b>	<b>166</b>	<b>100</b>	<b>2802</b>

\*Доля каждой категории артефактов высчитывается от общего числа всех статистически значимых категорий артефактов.

Коллекция каменных артефактов из слоя 2 насчитывает 439 предметов. Нуклевидные формы (2 экз.) представлены двумя одноплощадочными однофронтальными ядрищами для пластинчатых сколов (табл. 2). На первом нуклеусе крупными и средними снятиями подготовлены две противоположные ударные площадки, оформлен фронт и латерали, контрфронт сохранил желвачную поверхность. С одной из площадок реализованы два удлиненных скола, не прошедших всю длину фронта. Второй нуклеус имеет одну широкую, тщательно подготовленную ударную площадку. На широком выпуклом фронте имеются негативы четырех-пяти параллельных пластинчатых снятий. На контрфронте и латералих присутствуют участки желвачной поверхности. Оба нуклеуса ориентированы на получение пластинчатых заготовок и иллюстрируют начальный этап расщепления. Примечательно, что описанные ядрища располагались в слое вплотную друг к другу и, возможно, сохранили изначальное положение, когда были оставлены человеком для дальнейшей утилизации или как не подходящие для нее.

Таблица 2

## Состав нуклевидных форм из шурфа 5 стоянки Ушбулак

Группы/Типы	Количество		
	Слой 2	Слой 3	Всего
Нуклеусы для пластин	2	5	7
двуплощадочный однофронтальный для пластин	1	–	1
одноплощадочный однофронтальный для пластин	1	–	1
двуплощадочный однофронтальный встречный для пластин	–	2	2
двуплощадочный однофронтальный встречный для пластин, со смещением площадок	–	2	2
двуплощадочный однофронтальный для пластин	–	1	1
Нуклеусы для отщепов	–	1	1
одноплощадочный циркумфронтальный для отщепов и пластинчатых отщепов	–	1	1
Нуклеусы-резцы	–	1	1
Всего:	2	7	9

Общее количество сколов составило 398 экз. (табл. 1). Среди статистически значимых артефактов пластины чуть более многочисленны (57%) и в большинстве своем имеют продольную (52%) или бипродольную (23%) огранку дорсальной поверхности. Почти все ударные площадки пластинчатых снятий относятся к гладким (90%), зоны расщепления которых в 73% случаев тщательно подготавливались. Выявлены следующие приемы подготовки зоны расщепления: прямое (36%) и обратное (13%) редуцирование ударной площадки, применявшиеся самостоятельно или совместно (25%), снятие карниза (14%) и пикетаж в сочетании с редуцированием (12%).

Отщепы, как правило, имеют продольную (46%) и продольно конвергентную (20%) дорсальную огранку, а также гладкие ударные площадки (95%). В 62% случаев фиксируется подготовка зоны расщепления, которая осуществлялась теми же приемами, что и при снятии пластин.

Технические сколы немногочисленны (18 экз.) (табл. 1), представлены первичными и вторичными снятиями, сколами подправки ударной площадки, полуреберчатými пластинами, а также продольными краевыми сколами.

В состав орудийного набора слоя 2, несмотря на его невысокие количественные показатели (7 экз.; табл. 3), входят типологически выразительные изделия: резцы (угловой и двойной – рис. 4.-1) на фрагментах пластин с аккомодационной подработкой по продольным краям; пластина с перехватом, оформленным тщательно ретушированными выемками на продольных краях заготовки (рис. 4.-2); скребок угловой на пластине; миниатюрный концевой скребок на пластине. Кроме того, присутствуют отщепы с эпизодической ретушью по продольным краям.

Таблица 3

## Состав орудийного набора из шурфа 5 стоянки Ушбулак

Группы/Типы	Слой 2		Слой 3		Слой 4	Всего
	кол-во	процент*	кол-во	процент*	кол-во	
<b>Скребки**</b>	2	40,0	10	36,0	–	12
концевые на пластинах	1	20,0	7	25,0	–	8
угловые на пластинах	1	20,0	–	–	–	1
боковые на пластинах	–	–	1	4,0	–	1
концевые на пластинчатых отщепах	–	–	1	4,0	–	1
концевые на отщепах	–	–	1	4,0	–	1
Острия с подработкой основания	–	–	2	7,0	–	2
Остроконечники с ретушью	–	–	2	7,0	–	2



Продолжение таблицы 3

Группы/Типы	Слой 2		Слой 3		Слой 4	Всего
	кол-во	процент*	кол-во	процент *	кол-во	
Тронкированные пластины с ретушью	–	–	3	11,0	–	3
Тронкированно-фасетированные изделия	–	–	1	4,0	–	1
Ножи	–	–	3	11,0	–	3
с ретушированным лезвием	–	–	3	11,0	–	<b>3</b>
Резцы	2	40,0	1	4,0	–	3
двойные	1	20,0	1	4,0	–	<b>2</b>
угловые	1	20,0	–	–	–	<b>1</b>
Пластины с перехватом	1	20,0	–	–	–	1
Пластины с интенсивной ретушью	–	–	5	18,0	–	5
Отщепы с интенсивной ретушью	–	–	1	4,0	–	1
Пластины с нерегулярной ретушью	–	–	12	–	2	14
Отщепы с нерегулярной ретушью	2	–	3	–	1	6
Всего:	7	100	43	100	3	53

Основной объем археологического материала в шурфе 5 получен из слоя 3, в отложениях которого было обнаружено 2197 каменных артефактов (табл. 1). Среди нуклеидных форм (7 экз.; табл. 2) не наблюдается особого разнообразия, поскольку почти все обнаруженные экземпляры (5 экз.) являются двуплощадочными однофронтальными подпризматическими ядрищами встречного скалывания, ориентированными на получение пластинчатых сколов. Нуклеусы для пластин демонстрируют завершающую стадию утилизации: два ядрища сохранили небольшую часть объема, необходимого для расщепления (рис. 4.-10), остальные три – предельно истощены (рис. 4.-6, 8, 9). Был осуществлен ремонт одного из ядрищ в результате соединения заныривающего скола, удалившего большую часть нуклеуса, с фрагментом, оставшимся после реализации этого неудачного снятия (рис. 4.-6). Отличным от остальных является одноплощадочный подпризматический циркумфронтальный нуклеус, обнаруженный на границе слоев 3 и 4. В этом случае пропорции ядрища позволяли получать только отщепы и пластинчатые отщепы. В категории нуклеидных присутствует также единственный в коллекции нуклеус-резец на полуреберчатой пластине, проксимальная часть которой редуцирована поперечными снятиями в процессе утилизации изделия.

В индустрии сколов (2056 экз.) наиболее многочисленной и показательной категорией являются пластины (66%; табл. 1), которые чаще всего имеют продольную (38%) или бипродольную (35%) огранку дорсальной поверхности. Гладкие ударные площадки зафиксированы у 88% удлиненных сколов, зона расщепления тщательно подготавливалась в 77% случаев при помощи следующих технических приемов: прямое (30%) и обратное (18%) редуцирование ударной площадки, комбинирование прямого и обратного редуцирования (18%), снятие карниза (11%), пикетаж, использовавшийся в сочетании с редуцированием (16%) или самостоятельно (6%).

Дорсальные поверхности отщепов значительно более разнообразны, однако ни один из типов огранки не встречается чаще, чем в 9% случаев, за исключением самого распространенного – продольной (32%). Среди способов подготовки зоны расщепления укороченных сколов, как и пластин, наиболее распространена прямая редуция (34%), удаление карниза у отщепов фиксируется чаще (24%), а случаи использования пикетажа единичны (1%).

Значительную часть коллекции сколов составляют технические снятия (229 экз.; табл. 1). Самыми многочисленными сериями представлены сколы подправки ударной площадки, продольные и поперечные краевые снятия, полуреберчатые пластины, а также вторичные сколы разных пропорций. Менее многочисленны сколы подработки фронта, реберчатые пластины и первичные снятия (табл. 1). Наличие значительной доли сколов

подработки ударной площадки, а также сколов, сохранивших желвачную или галечную поверхность (пластины – 30%, отщепы – 42%), позволяет предположить, что в пределах изученного участка стоянки производилось начальное оформление нуклеусов.

Большинство орудий из слоя 3 (43 экз.) выполнено на средних и крупных пластинах (86%). Значительную часть орудийного набора составляют сколы с нерегулярной или эпизодической ретушью (34% от общего числа орудий; табл. 3). Самой массовой категорией среди типологически выраженных форм являются концевые скребки на пластинах (36%; рис. 4.-7). Другие элементы орудийной коллекции менее многочисленны: сколы с интенсивной ретушью (15%), тронкированные пластины с регулярной обработкой (11%; рис. 4.-5), ретушированные ножи (11%), острия с подработкой основания (7%; рис. 4.-4) и остроконечники с ретушью (7%). К единичным находкам относятся резец двойной на пластине (рис. 4.-3) и тронкированно-фасетированное изделие на отщепе.

Археологический материал слоя 4 (166 экз.) представлен в основном сколами без вторичной обработки (158 экз.; табл. 1). Среди статистически значимых артефактов количество отщепов почти вдвое больше, чем пластин, при этом целые экземпляры обеих категорий составляют 14% от коллекции находок. Большинство предметов являются медиальными или дистальными фрагментами снятий, что не позволяет измерить и проанализировать основные показатели для индустрии сколов (огранки дорсальных поверхностей, типы ударных площадок, приемы подготовки зон расщепления). Среди немногочисленных технических сколов (18 экз.; табл. 1) присутствуют продольные краевые снятия, первичные отщепы и сколы подправки фронта. Орудийные формы представлены отщепом и пластинами с нерегулярной ретушью (3 экз.; табл. 3).

Хотя индустрии из слоев 2–4 имеют различные количественные показатели и связаны с разными литологическими подразделениями, по своим основным технико-типологическим характеристикам они представляют единый культурно-хронологический комплекс.

Анализ нуклевидных форм показал, что большинство ядрищ (табл. 2) использовались для серийного производства пластин путем параллельного и субпараллельного объемного встречного расщепления. Значительная доля реберчатых и полуреберчатых пластин (табл. 1) в категории технических сколов подтверждает ориентацию расщепления на получение удлиненных заготовок в подпризматической технике. Присутствие большого числа крупных сколов, сохранивших желвачную поверхность, позволяет предположить, что первичная подготовка нуклеусов могла производиться на исследованной части памятника.

Орудийная коллекция из шурфа 5 численно невелика, но содержит ряд ярких, типологически выраженных предметов (табл. 3): концевые скребки, двойные резцы (рис. 4.-1, 3), тронкированные пластины с ретушью (рис. 4.-5), ретушированные остроконечники, пластины с интенсивной ретушью. Важными элементами орудийного набора являются единичные изделия-маркеры: пластина с перехватом (рис. 4.-2), острия с подработкой основания (рис. 4.-4), нуклеус-резец, – которые в сочетании с характеристиками первичного расщепления могут рассматриваться как явные признаки индустрии начального этапа верхнего палеолита [Rybin, 2014].

Присутствие в коллекции нуклеусов на разных стадиях утилизации, большого количества технических сколов подправки ударной площадки, первичных и вторичных снятий, малая доля орудий и огромное количество сколов без вторичной обработки – все это характеризует исследованный участок стоянки как часть производственной площадки.

### **Заключение**

В результате детального сопоставления разрезов шурфа 5 и раскопа 2, находящихся в схожей геоморфологической ситуации, были выявлены близкие по характеристикам литологические подразделения и определены аналоги для слоев 2–4 из шурфа 5.

Археологические материалы из шурфа 5, как и находки из раскопа 2, представляют собой единый археологический комплекс, который в обоих случаях имеет ярко выраженную пластинчатую направленность. В категории нуклевидных форм в обеих коллекциях доминируют двуплощадочные однофронтальные ядрища встречного скалывания для пластин. В индустрии сколов шурфа 5 прослеживается несколько большая доля отщепов при общей схожей представленности основных категорий первичного расщепления на обоих участках.

Все типы орудий, представленные в коллекции из шурфа 5, находят свои аналоги в орудийном наборе из раскопа 2. При этом совпадают не только качественные характеристики, но и количественное соотношение основных типов изделий с вторичной обработкой. Концевые скребки на пластинах и удлиненные сколы с разной интенсивностью ретуширования являются самыми многочисленными группами в обеих коллекциях. К наиболее представительным орудийным формам из шурфа 5 относятся острия с подработкой основания, пластина с перехватом, тронкированные изделия, двойные резцы, ретушированные остроконечники. Среди находок из шурфа 5 не зафиксированы бифасиальные изделия, пластинки с притупленным краем и скошенные острия, наиболее показательные для каменной индустрии из раскопа 2. Возможно, это объясняется значительно меньшим размером участка, исследованного в южной части стоянки, по сравнению с основным раскопом.

В целом можно утверждать, что каменная индустрия из шурфа 5 по своим технико-типологическим показателям аналогична материалам начальной стадии верхнего палеолита из раскопа 2.

Таким образом, полученная в ходе раскопок коллекция каменных артефактов из шурфа 5 хорошо дополняет общую коллекцию стоянки выразительными нуклевидными и орудийными формами, в том числе изделиями, маркирующими индустрии начального верхнего палеолита Южной Сибири и севера Центральной Азии: остриями с подработкой основания, пластиной с перехватом, нуклеусом-резцом.

Наличие прямых корреляций как по стратиграфической ситуации, так и по характеристикам технокомплексов между раскопом 2 и шурфом 5, при значительной концентрации археологического материала в последнем, свидетельствуют о высокой перспективности южного участка стоянки для дальнейшего изучения плейстоценовых отложений, содержащих археологические комплексы начальной поры верхнего палеолита.

### **Благодарности**

Авторы выражают благодарность А.В. Абдульмановой за подготовку иллюстраций каменных артефактов, Е.Н. Бочаровой – за подготовку фотографий находок.

### **Библиографический список**

Анойкин А.А., Таймагамбетов Ж.К., Козликин М.Б., Ульянов В.А., Марковский Г.И., Гладышев С.А., Павленок Г.Д., Чеха А.М., Шалагина А.В., Шуньков М.В. Исследования палеолитических объектов Шиликтинской котловины в 2018 году // Проблемы археологии, этнографии, антропологии Сибири и сопредельных территорий. Новосибирск : Изд-во Ин-та археологии и этнографии СО РАН, 2018. Т. XXIV. С. 13–17. DOI: 10.17746/2658-6193.2018.24.013-017.

Анойкин А.А., Таймагамбетов Ж.К., Павленок Г.Д., Шалагина А.В., Бочарова Е.Н., Марковский Г.И., Гладышев С.А., Ульянов В.А., Чеха А.М., Козликин М.Б., Исаков Г.Т., Васильев С.К., Шуньков М.В. Исследование индустрий начального верхнего палеолита на стоянке Ушбулак (Восточный Казахстан) в 2018 году // Проблемы археологии, этнографии, антропологии Сибири и сопредельных территорий. Новосибирск : Изд-во Ин-та археологии и этнографии СО РАН, 2018. Т. XXIV. С. 18–24. DOI: 10.17746/2658-6193.2018.24.018-024.

Анойкин А.А., Таймагамбетов Ж.К., Ульянов В.А., Харевич В.М., Шалагина А.В., Павленок Г.Д., Марковский Г.И., Гладышев С.А., Чеха А.М., Исаков Г.Т., Васильев С.К. Исследование индустрий начальных этапов верхнего палеолита на стоянке Ушбулак-1 (Восточный Казахстан) в 2017 году // Проблемы археологии, этнографии, антропологии Сибири и сопредельных территорий. Новосибирск : Изд-во Ин-та археологии и этнографии СО РАН, 2017. Т. XXIII. С. 19–25.

Деревянко А.П., Шуньков М.В., Аношкин А.А., Таймагамбетов Ж.К., Ульянов В.А., Харевич В.М., Козликин М.Б., Марковский Г.И., Шалагина А.В., Павленок Г.Д., Гладышев С.А., Чеха А.М., Искаков Г.Т. Археологические работы в Шиликтинской долине на востоке Казахстана в 2017 году // Проблемы археологии, этнографии, антропологии Сибири и сопредельных территорий. Новосибирск : Изд-во Ин-та археологии и этнографии СО РАН, 2017. Т. XXIII. С. 93–98.

Павленок Г.Д., Аношкин А.А., Таймагамбетов Ж.К., Ульянов В.А., Марковский Г.И., Гладышев С.А., Шалагина А.В., Чеха А.М., Искаков Г.Т. Исследование финальноплейстоценовых материалов стоянки Ушбулак в 2018 году // Проблемы археологии, этнографии, антропологии Сибири и сопредельных территорий. Новосибирск : Изд-во Ин-та археологии и этнографии СО РАН, 2018. Т. XXIV. С. 137–141. DOI: 10.17746/2658-6193.2018.24.137-141.

Павленок Г.Д., Аношкин А.А., Таймагамбетов Ж.К., Ульянов В.А., Шалагина А.В., Харевич В.М., Марковский Г.И., Гладышев С.А., Чеха А.М., Искаков Г.Т., Васильев С.К. Исследование индустрий рубежа плейстоцена и голоцена на стоянке Ушбулак-1 в 2017 году // Проблемы археологии, этнографии, антропологии Сибири и сопредельных территорий. Новосибирск : Изд-во Ин-та археологии и этнографии СО РАН, 2017. Т. XXIII. С. 182–185.

Петрин В.Т., Таймагамбетов Ж.К. Комплексы палеолитической стоянки Шульбинка из Верхнего Прииртышья. Алматы : Изд-во КГНУ им. Аль-Фараби; Изд-во Ин-та археологии и этнографии СО РАН, 2000. 165 с.

Таймагамбетов Ж.К., Ожерельев Д.В. Позднепалеолитические памятники Казахстана. Алматы : Казак университеті, 2009. 256 с.

Шуньков М.В., Таймагамбетов Ж.К., Аношкин А.А., Павленок К.К., Харевич В.М., Козликин М.Б., Павленок Г.Д. Новая многослойная верхнепалеолитическая стоянка Ушбулак-1 в Восточном Казахстане // Проблемы археологии, этнографии, антропологии Сибири и сопредельных территорий. Новосибирск : Изд-во Ин-та археологии и этнографии СО РАН, 2016. Т. XXII. С. 208–213.

Derevianko A.P., Gao Xing, Olsen J.W., and Rybin E.P. The Paleolithic of Dzungaria (Xinjiang, Northwest China) Based on Materials from the Luotuoshi Site // *Archaeology, Ethnology & Anthropology of Eurasia*. 2012. Vol. 40 (4). P. 2–18.

Kuhn S.L., Zwyns N. Rethinking the initial Upper Paleolithic // *Quaternary International*. 2014. Vol. 347. P. 29–38. DOI: 10.1016/j.quaint.2014.05.040.

Rybin E.P. Tools, beads, and migrations: Specific cultural traits in the Initial Upper Paleolithic of southern Siberia and Central Asia // *Quaternary International*. 2014. Vol. 347. P. 39–52. DOI: 10.1016/j.quaint.2014.04.031.

## References

Anojkin A.A., Tajmagambetov Zh.K., Kozlikin M.B., Ul'yanov V.A., Markovskij G.I., Gladyshev S.A., Pavlenok G.D., Chekha A.M., Shalagina A.V., Shun'kov M.V. Issledovaniya paleoliticheskikh ob'ektov Shiliktinskoy kotloviny v 2018 godu [The 2018 Archaeological Studies of Palaolithic Sites in the Shilikty Basin]. *Problemy arheologii, etnografii, antropologii Sibiri i sopredelnyh territorij* [Problems of Archaeology, Ethnography, Anthropology of Siberia and Neighboring Territories]. Novosibirsk : Izd-vo In-ta arheologii i etnografii SO RAN, 2018. Vol. XXIV. Pp. 13–17. DOI: 10.17746/2658-6193.2018.24.013-017.

Anojkin A.A., Tajmagambetov Zh.K., Pavlenok G.D., Shalagina A.V., Bocharova E.N., Markovskij G.I., Gladyshev S.A., Ul'yanov V.A., Chekha A.M., Kozlikin M.B., Isakov G.T., Vasil'ev S.K., Shun'kov M.V. Issledovanie industrij nachalnogo verhnego paleolita na stoyanke Ushbulak (Vostochnyj Kazahstan) v 2018 godu [The Research into the Industries of the Initial Upper Paleolithic at the Ushbulak Site in 2018]. *Problemy arheologii, etnografii, antropologii Sibiri i sopredelnyh territorij* [Problems of Archaeology, Ethnography, Anthropology of Siberia and Neighboring Territories]. Novosibirsk : Izd-vo In-ta arheologii i etnografii SO RAN, 2018. Vol. XXIV. Pp. 18–24. DOI: 10.17746/2658-6193.2018.24.018-024.

Anojkin A.A., Tajmagambetov Zh.K., Ul'yanov V.A., Harevich V.M., Shalagina A.V., Pavlenok G.D., Markovskij G.I., Gladyshev S.A., Chekha A.M., Isakov G.T., Vasil'ev S.K. Issledovanie industrij nachal'nyh ehtapov verhnego paleolita na stoyanke Ushbulak-1 (Vostochnyj Kazahstan) v 2017 godu [The Research into the Initial Upper Paleolithic Industry on the Ushbulak-1 Site (Eastern Kazakhstan) in 2017]. *Problemy arheologii, etnografii, antropologii Sibiri i sopredelnyh territorij* [Problems of Archaeology, Ethnography, Anthropology of Siberia and Neighboring Territories]. Novosibirsk : Izd-vo In-ta arheologii i etnografii SO RAN, 2017. Vol. XXIII. Pp. 19–25.

Derevianko A.P., Shun'kov M.V., Anojkin A.A., Tajmagambetov Zh.K., Ul'yanov V.A., Harevich V.M., Kozlikin M.B., Markovskij G.I., Shalagina A.V., Pavlenok G.D., Gladyshev S.A., Chekha A.M., Isakov G.T. Arkheologicheskie raboty v Shiliktinskoy doline na vostoке Kazakhstana v 2017 godu [The 2017 Archaeological Study in the Shilikty Valley in the East Kazakhstan Region]. *Problemy arheologii, etnografii, antropologii*

Sibiri i sopredelnykh territorij [Problems of Archaeology, Ethnography, Anthropology of Siberia and Neighboring Territories]. Novosibirsk : Izd-vo In-ta arheologii i etnografii SO RAN, 2017. Vol. XXIII. Pp. 93–98.

Pavlenok G.D., Anojkin A.A., Tajmagambetov Zh.K., Ul'yanov V.A., Markovskij G.I., Gladyshev S.A., Shalagina A.V., Chekha A.M., Iskakov G.T. Issledovanie final'nopelestocenovyykh materialov stojanki Ushbulak v 2018 godu [Research into the Final Pleistocene Materials of the Ushbulak Site in 2018]. Problemy arheologii, etnografii, antropologii Sibiri i sopredelnykh territorij [Problems of Archaeology, Ethnography, Anthropology of Siberia and Neighboring Territories]. Novosibirsk : Izd-vo In-ta arheologii i etnografii SO RAN, 2018. Vol. XXIV. Pp. 137–141. DOI: 10.17746/2658-6193.2018.24.137-141.

Pavlenok G.D., Anojkin A.A., Tajmagambetov Zh.K., Ul'yanov V.A., Shalagina A.V., Harevich V.M., Markovskij G.I., Gladyshev S.A., Chekha A.M., Iskakov G.T., Vasil'ev S.K. Issledovanie industriy rubezha plejstocena i golocena na stojanke Ushbulak-1 v 2017 godu [The 2017 Study of the Pleistocene-Holocene Transitional Stone Tool Industries]. Problemy arheologii, etnografii, antropologii Sibiri i sopredelnykh territorij [Problems of Archaeology, Ethnography, Anthropology of Siberia and Neighboring Territories]. Novosibirsk : Izd-vo In-ta arheologii i etnografii SO RAN, 2017. Vol. XXIII. Pp. 182–185.

Petrin V.T., Tajmagambetov Zh.K. Kompleksy paleoliticheskoy stojanki Shul'binka iz Verhnego Priirtysh'ya [Archaeological Complexes of Shul'binka Paleolithic Site in the Upper Irtysh Basin]. Almaty : Izd-vo KGNU im. Al-Farabi i In-ta arheologii i etnografii SO RAN, 2000. 165 p.

Tajmagambetov Zh.K., Ozherel'ev D.V. Pozdnepleoliticheskie pamjatniki Kazakhstana [Late Paleolithic Sites of Kazakhstan]. Almaty : Kazak universiteti, 2009. 256 p.

Shun'kov M.V., Tajmagambetov Zh.K., Anojkin A.A., Pavlenok K.K., Harevich V.M., Kozlikin M.B., Pavlenok G.D. Novaya mnogoslojnaya verhnepaleoliticheskaya stojanka Ushbulak-1 v Vostochnom Kazakhstane [New Multistratified Upper Paleolithic Site Ushbulak-1 in Eastern Kazakhstan]. Problemy arheologii, etnografii, antropologii Sibiri i sopredelnykh territorij [Problems of Archaeology, Ethnography, Anthropology of Siberia and Neighboring Territories]. Novosibirsk : Izd-vo In-ta arheologii i etnografii SO RAN, 2016. Vol. XXII. Pp. 208–213.

Derevianko A.P., Gao Xing, Olsen J.W, and Rybin E.P. The Paleolithic of Dzungaria (Xinjiang, Northwest China) Based on Materials from the Luotuoshi Site // *Archaeology, Ethnology & Anthropology of Eurasia*. 2012. Vol. 40 (4). Pp. 2–18.

Kuhn S.L., Zwyns N. Rethinking the initial Upper Paleolithic // *Quaternary International*. 2014. Vol. 347. Pp. 29–38. DOI: 10.1016/j.quaint.2014.05.040.

Rybin E.P. Tools, beads, and migrations: Specific cultural traits in the Initial Upper Paleolithic of southern Siberia and Central Asia // *Quaternary International*. 2014. Vol. 347. P. 39–52. DOI: 10.1016/j.quaint.2014.04.031.

**G.I. Markovskii, M.B. Kozlikin, A.A. Anojkin**

*Institute of Archaeology and Ethnography of the SB RAS, Novosibirsk, Russia*

## **NEW DATA ON THE INITIAL UPPER PALEOLITHIC ASSEMBLAGES FROM THE USHBULAK SITE (based on evidence from the southern part of the site)**

This article presents the results from a study of the southern part of the Paleolithic site of Ushbulak, based on the evidence documented in test pit 5. The site is located in the Shilikty Valley (North-Eastern Kazakhstan) and was discovered in 2016. In 2016–2018, four test pits, a trench and two excavations were produced at the site. Test pit 5 is situated on the bank of a stream, 15 m south of excavation 2, in geomorphological conditions similar to those present in the latter. Archaeological excavations in the test pit were carried out in 2017 and 2018. Field research has made it possible to reveal a stratigraphic section that includes 5 layers, as well as a collection of archaeological finds (2,802 specimens). A comparative analysis of the sections shows that the lithological units recognized in test pit 5 have their counterparts in the layers from excavation 2. The primary flaking in the stone tool industry from test pit 5 appears to have been focused on producing blades in the context of parallel volumetric counter reduction. The tool assemblage includes end-scrapers, retouched blades, double burins, retouched points, knives, and truncated blades. Based on techno-typological characteristics, stone artifacts from test pit 5 are similar to the Initial Upper Paleolithic assemblages from excavation 2. This is corroborated by the fact that lithics indicative of the Initial Upper Paleolithic stone tool industries from South Siberia and northern Central Asia, such as points with a trimmed base, truncated faceted pieces, notched blades, and core-shaped burin, were found to be present in the archeological assemblage from test pit 5. The presence of evidence in the archeological assemblages and stratigraphy of test pit 5, showing a close analogy to that from excavation 2, confirmed that the southern part of the Ushbulak site has promising prospects for further study.

*Key words:* Kazakhstan, initial Upper Paleolithic, Ushbulak, test pits, blade reduction, marker tools.